

Fig. 1

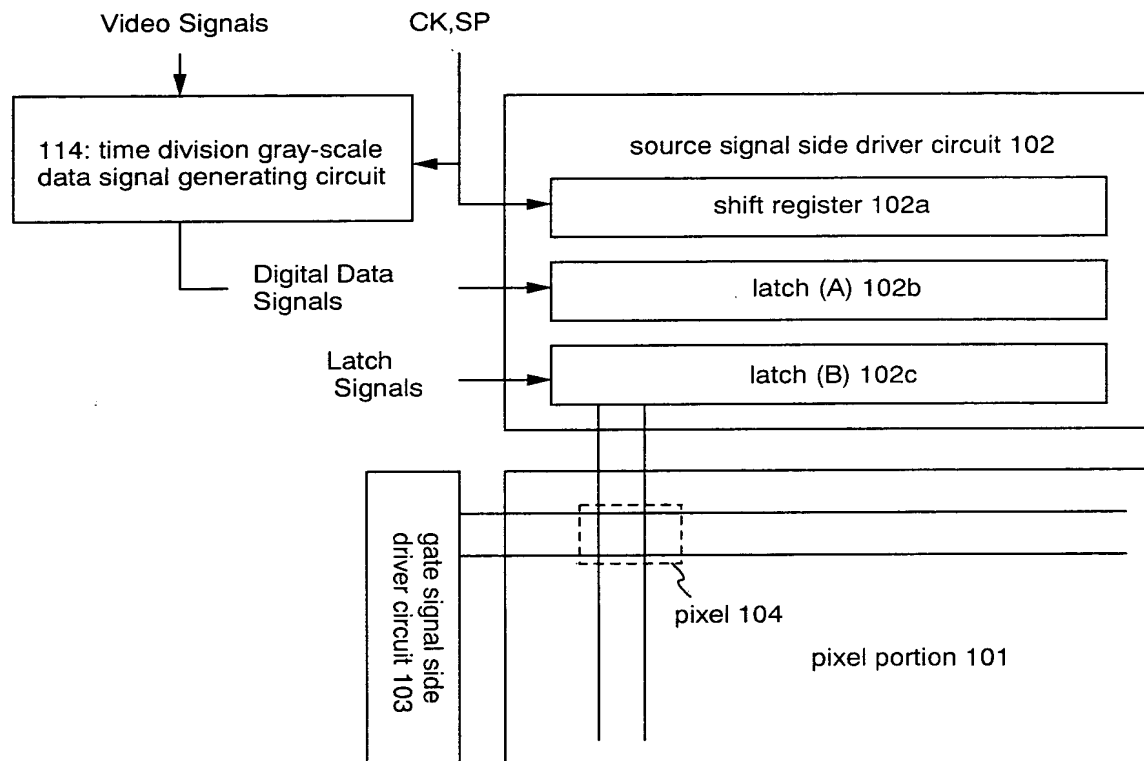


Fig. 2A

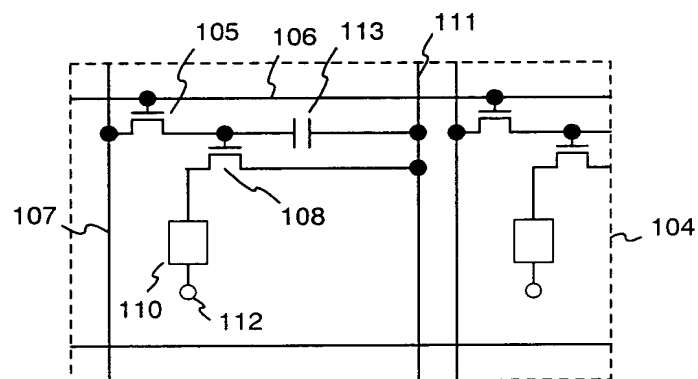


Fig. 2B

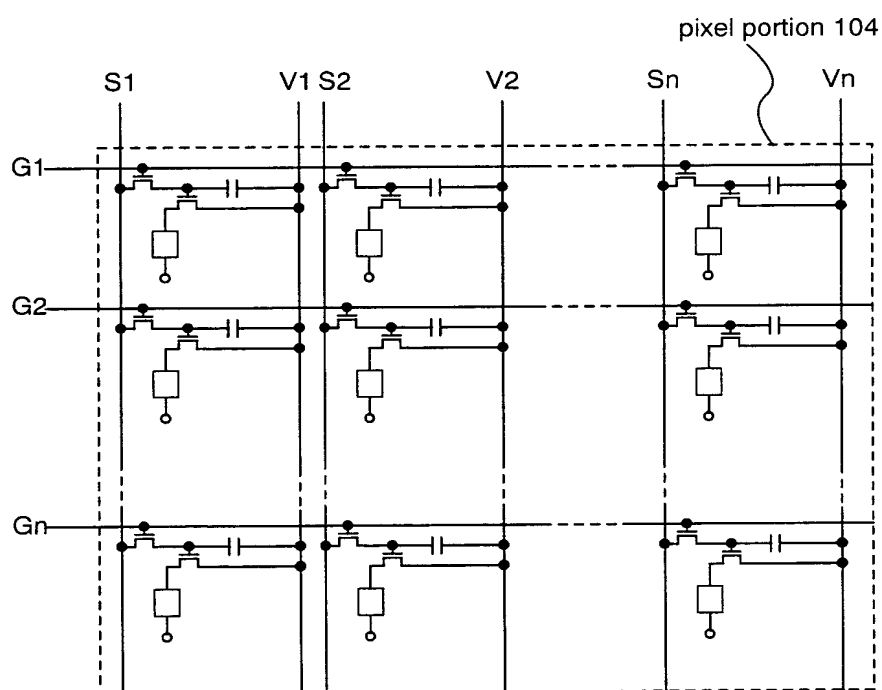


Fig. 3

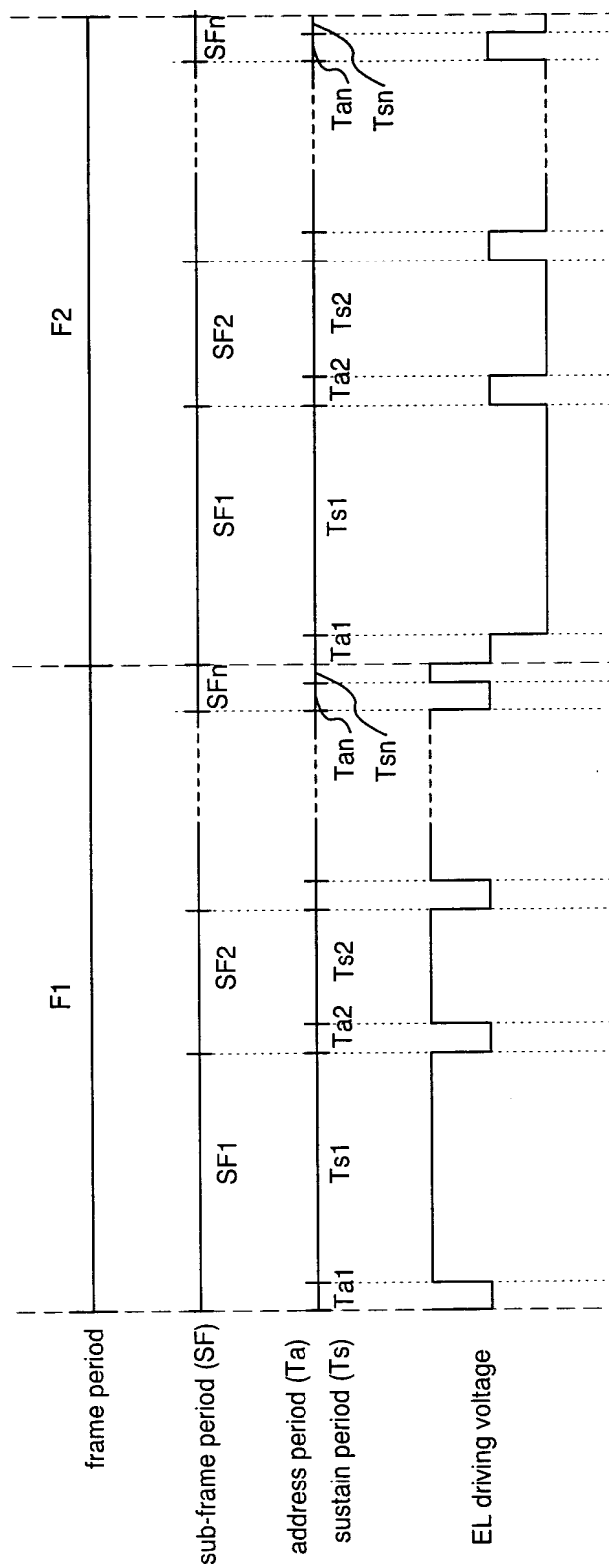


Fig. 4

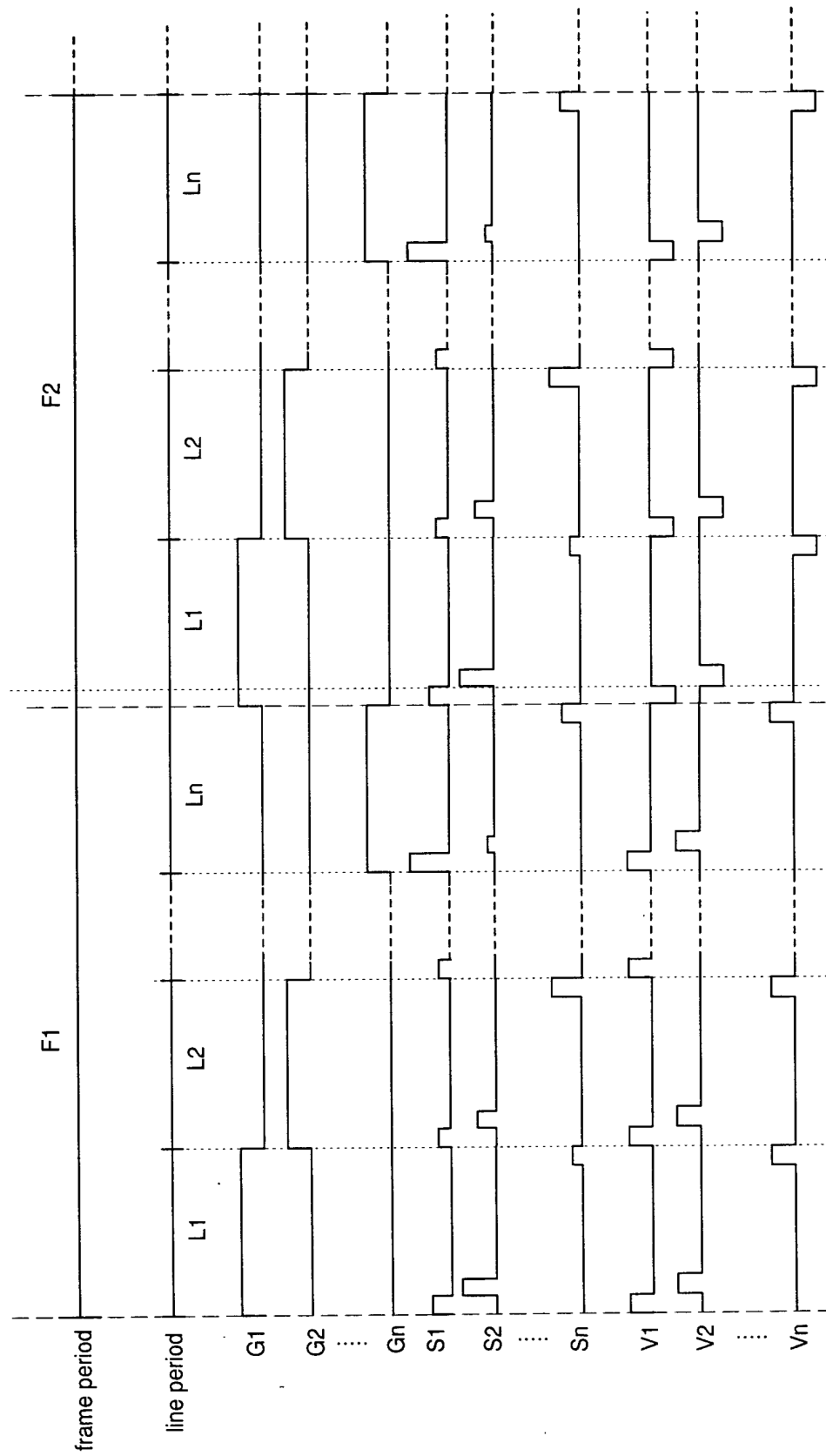


Fig. 5

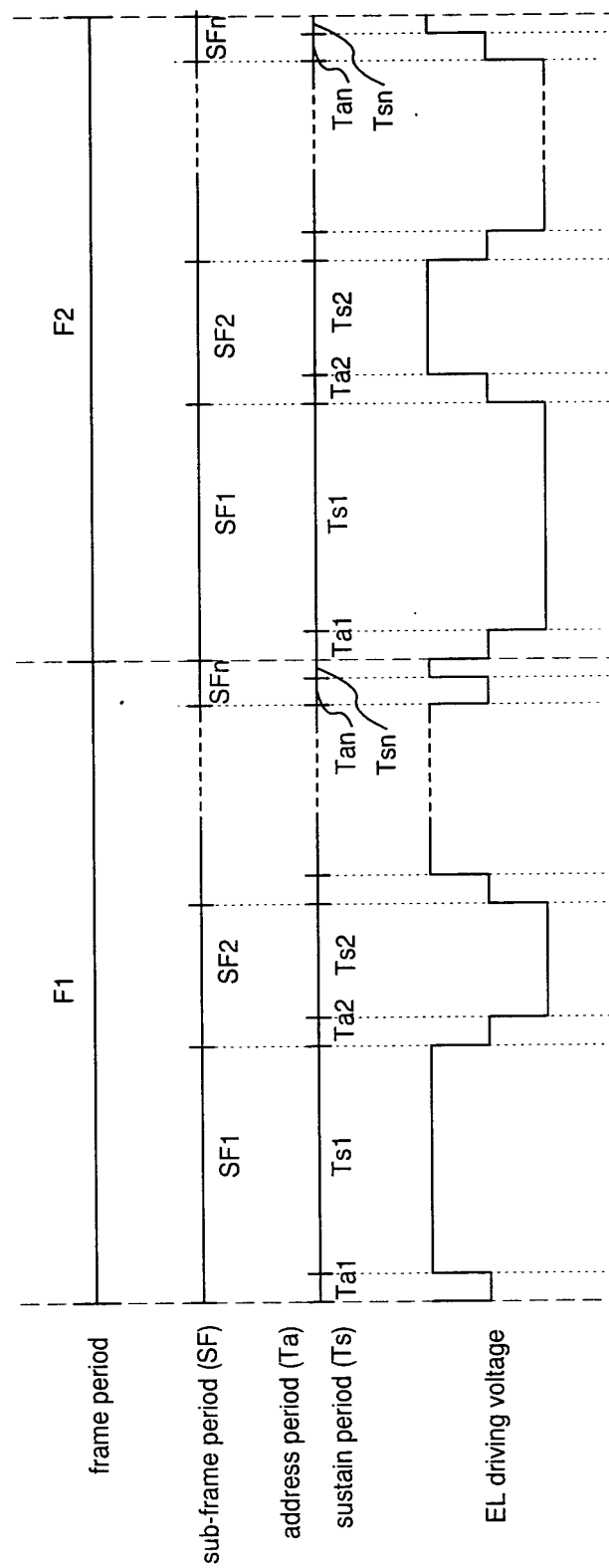


Fig. 6A

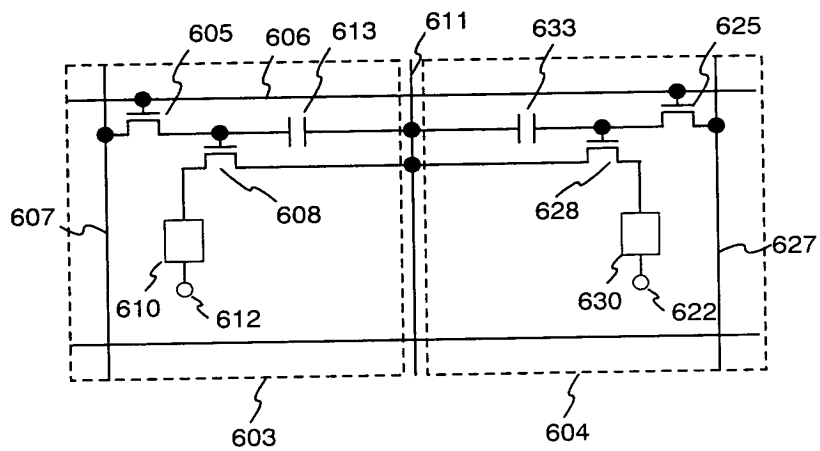


Fig. 6B

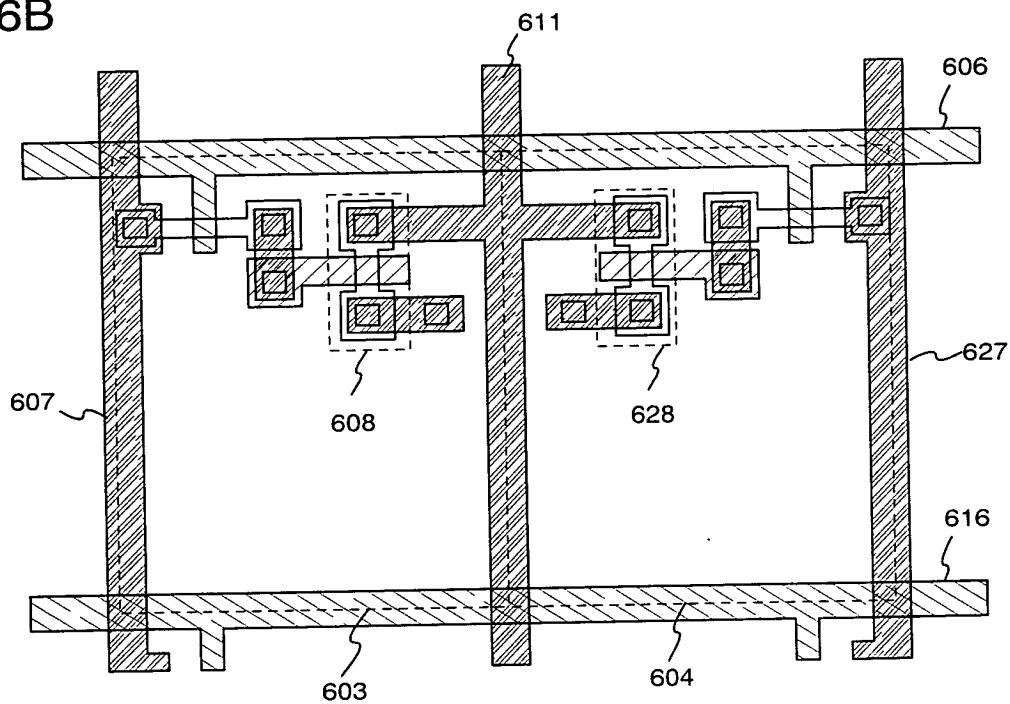
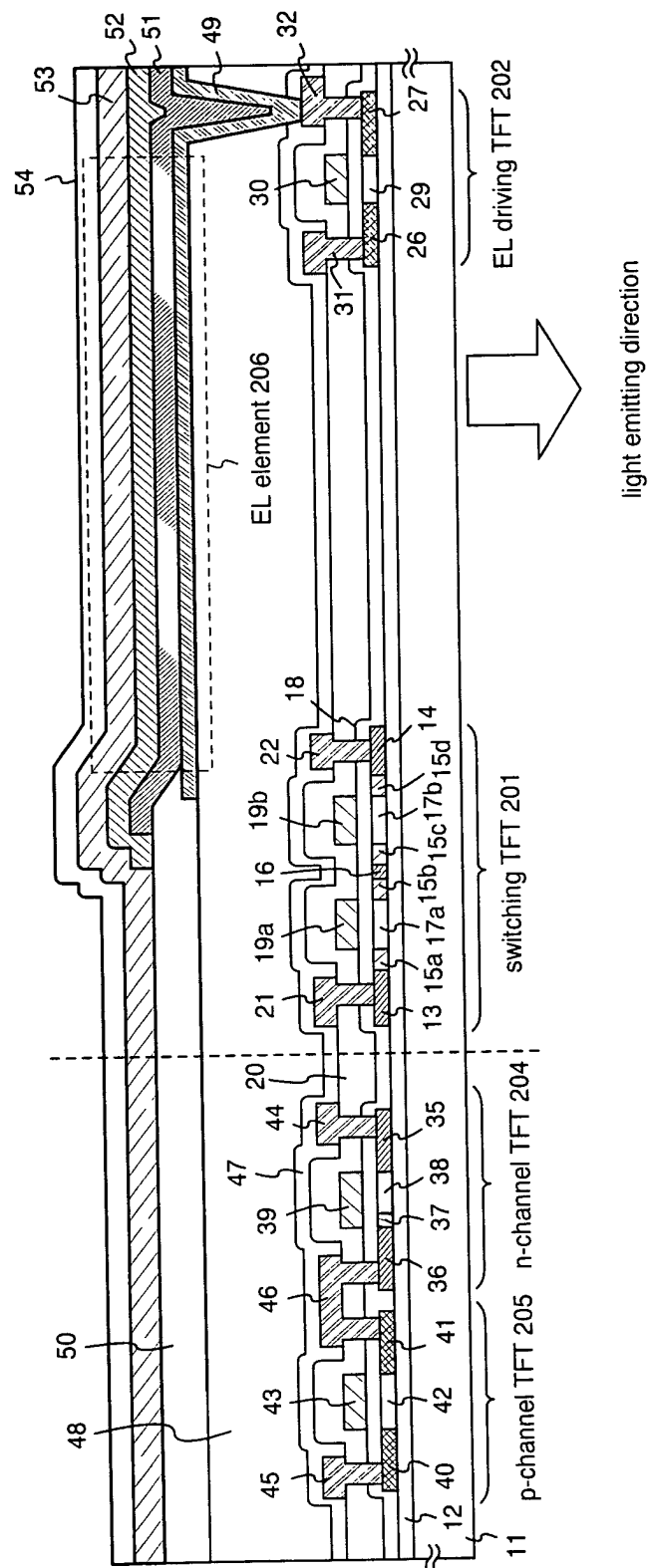


Fig. 7



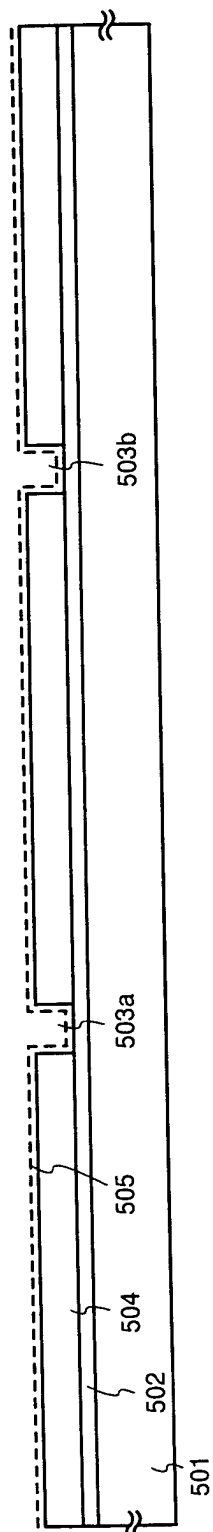


Fig. 8A

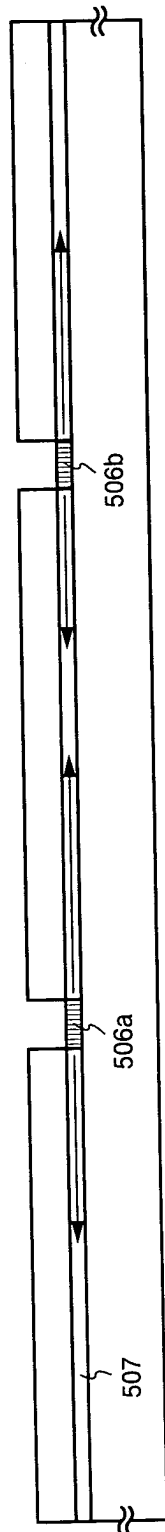


Fig. 8B

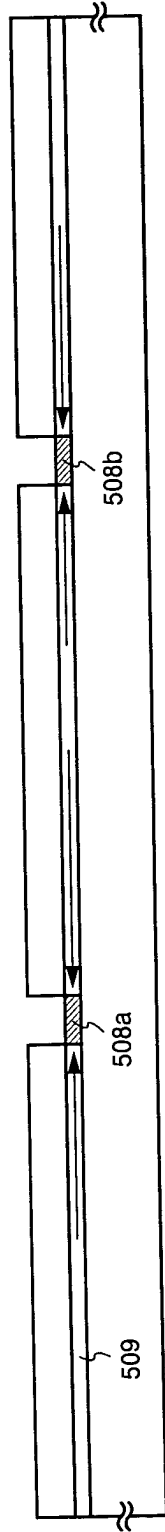


Fig. 8C

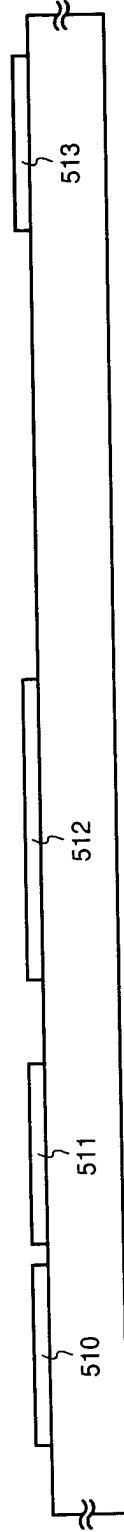


Fig. 8D

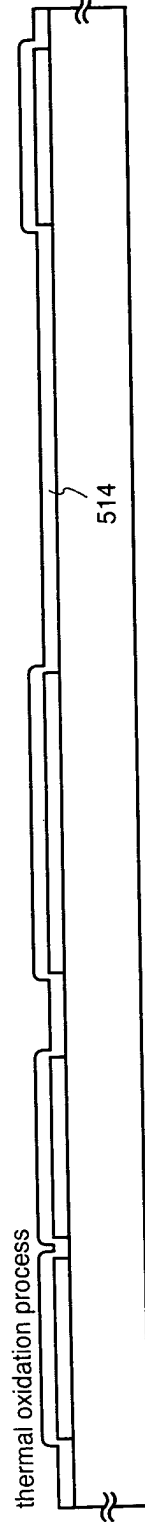


Fig. 8E

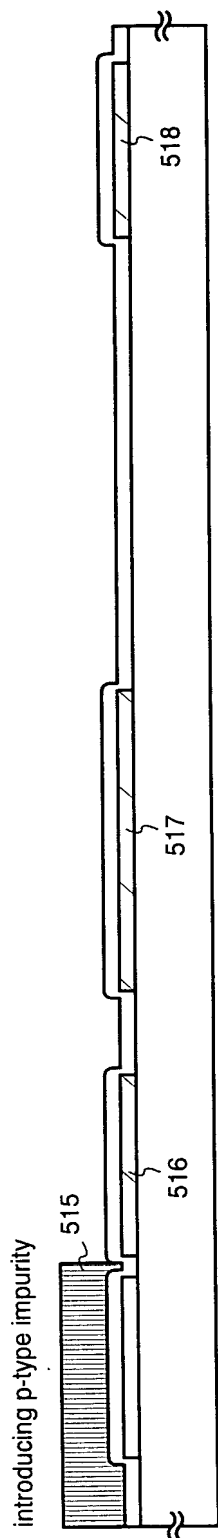


Fig. 9A

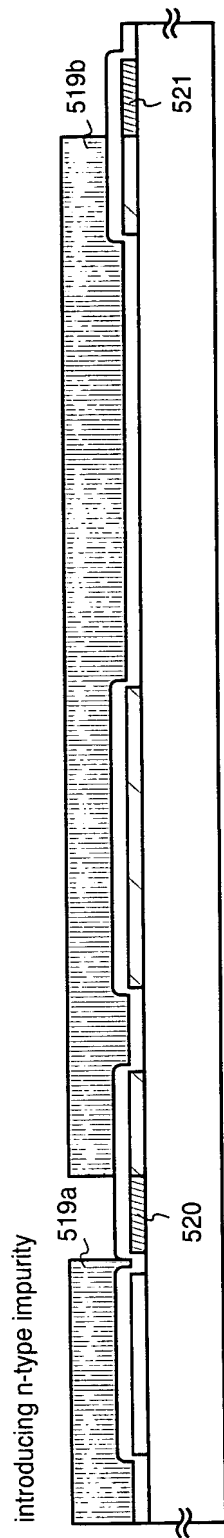


Fig. 9B

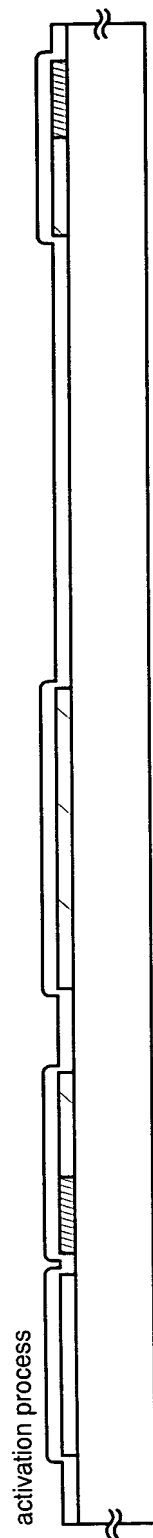


Fig. 9C

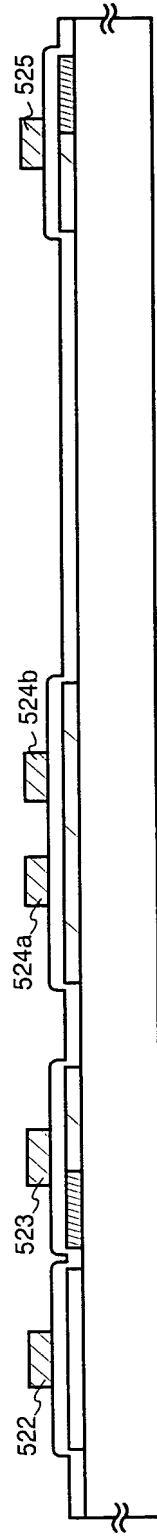


Fig. 9D

introducing n-type impurity

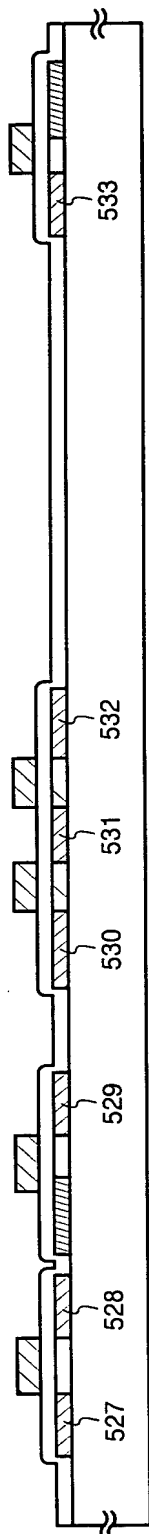


Fig. 10A

introducing n-type impurity

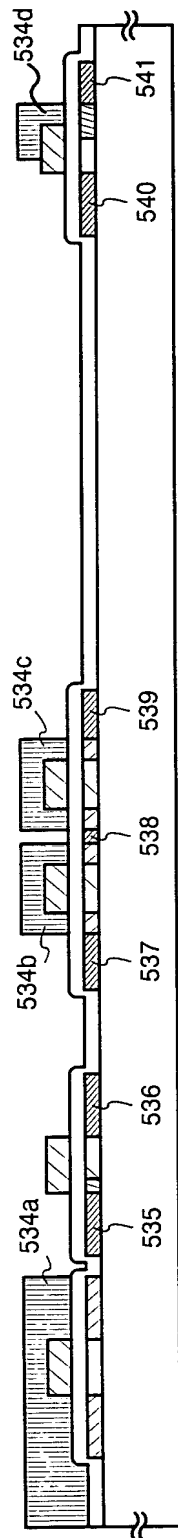


Fig. 10B

introducing p-type impurity

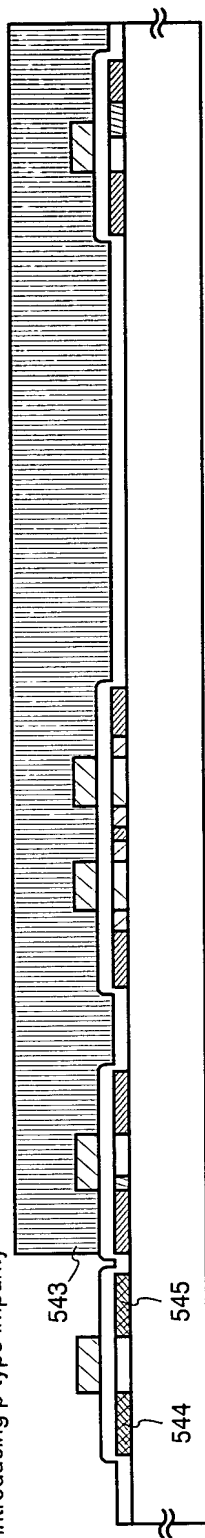


Fig. 10C

activation process

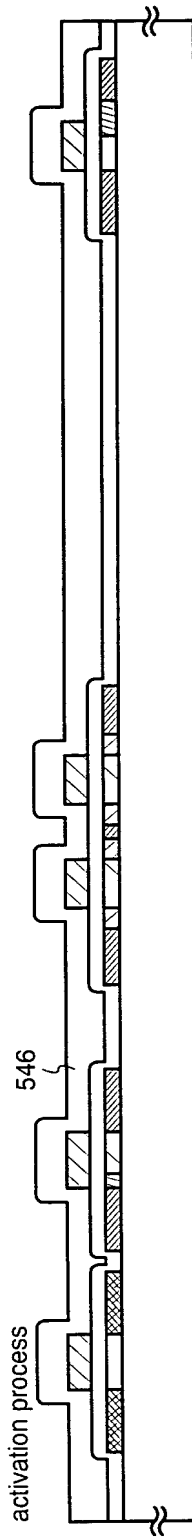


Fig. 10D

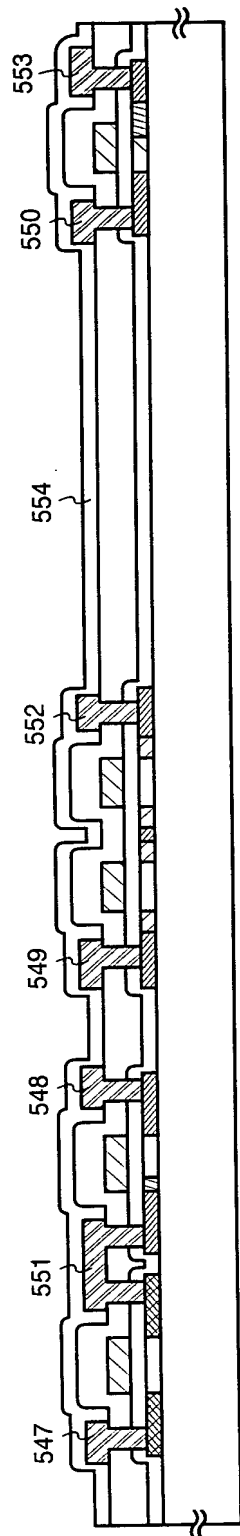


Fig. 11A

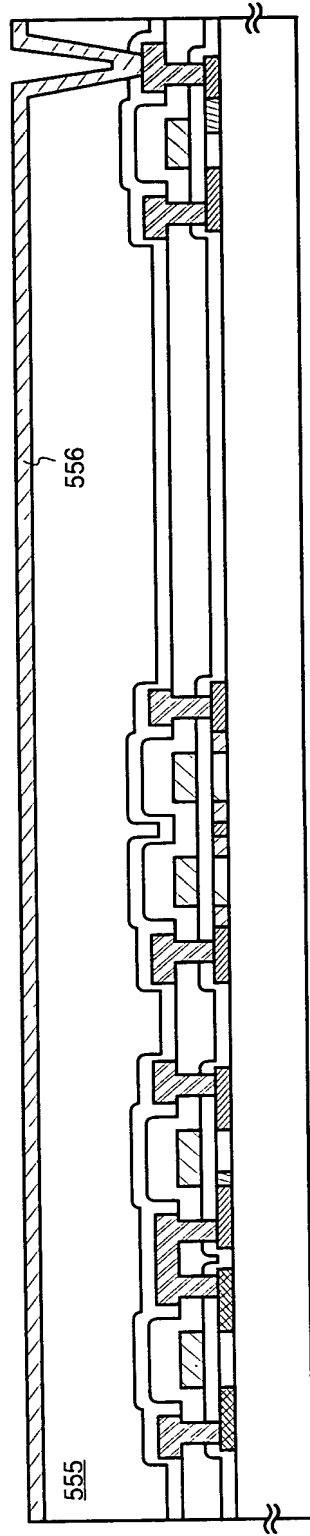


Fig. 11B

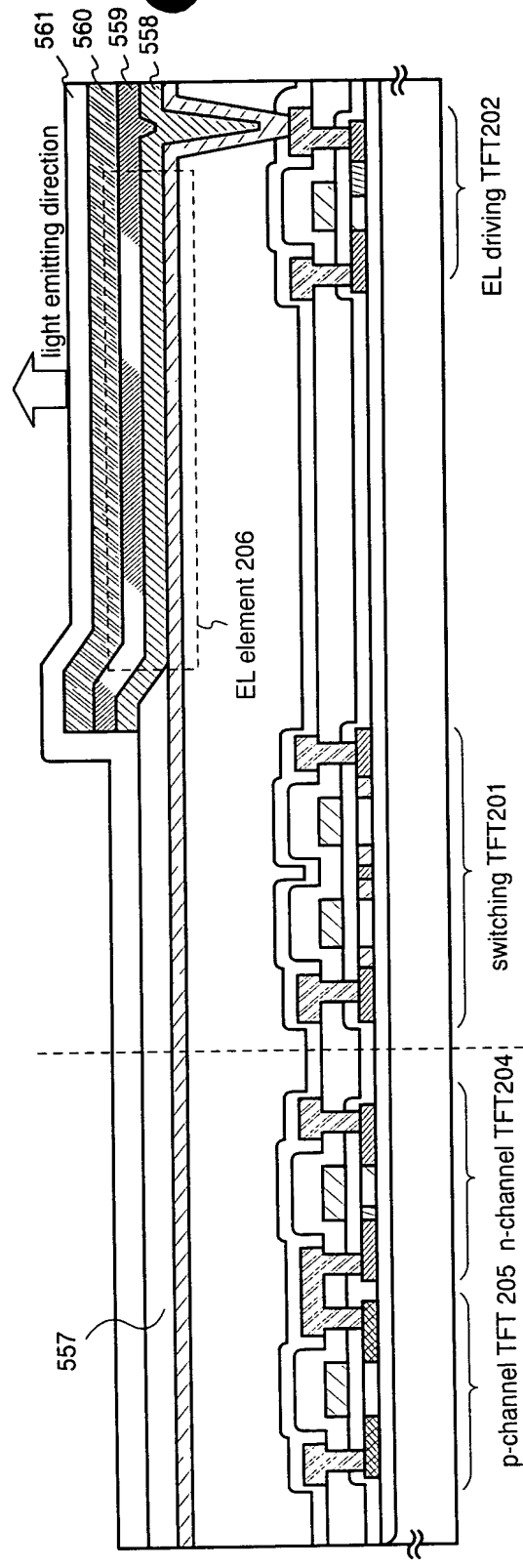


Fig. 11C

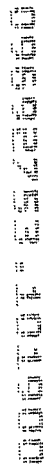
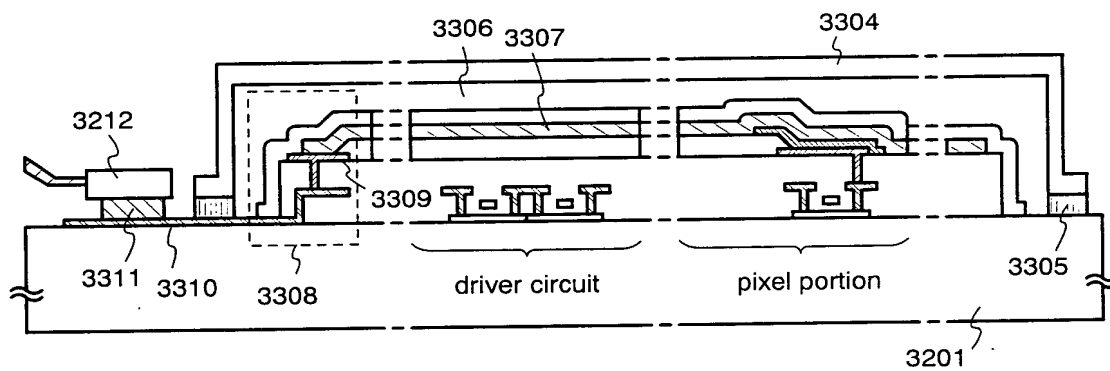
[illegible]

Fig. 13B



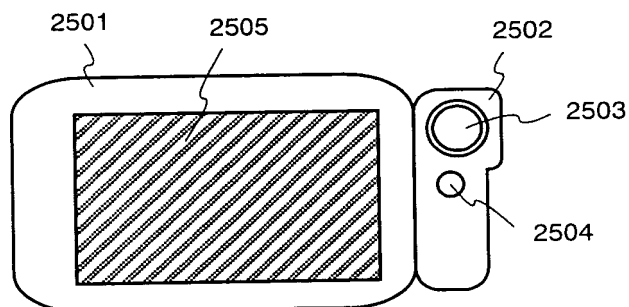
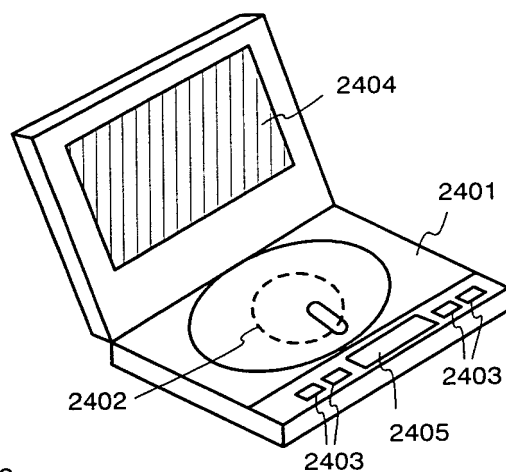
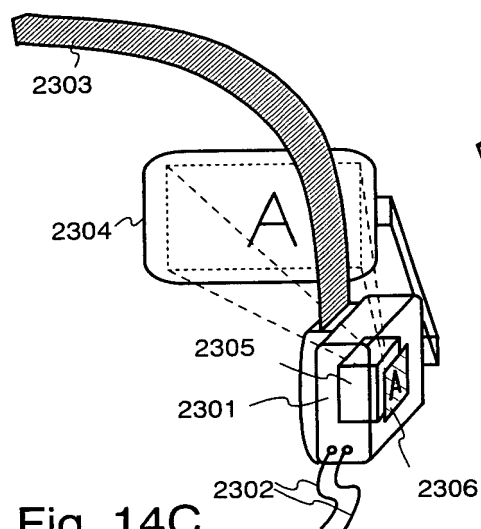
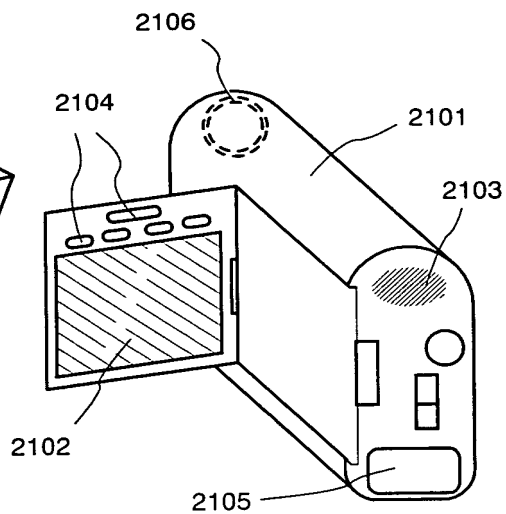
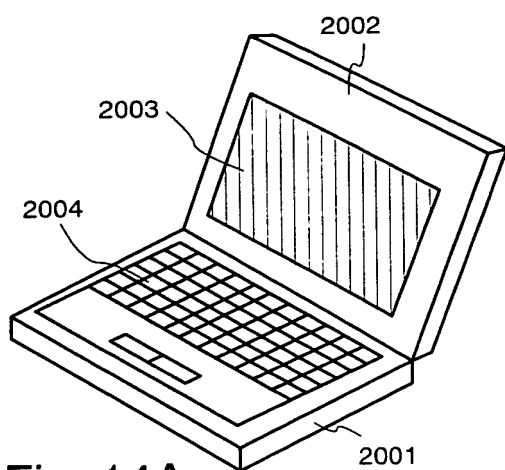


Fig. 15

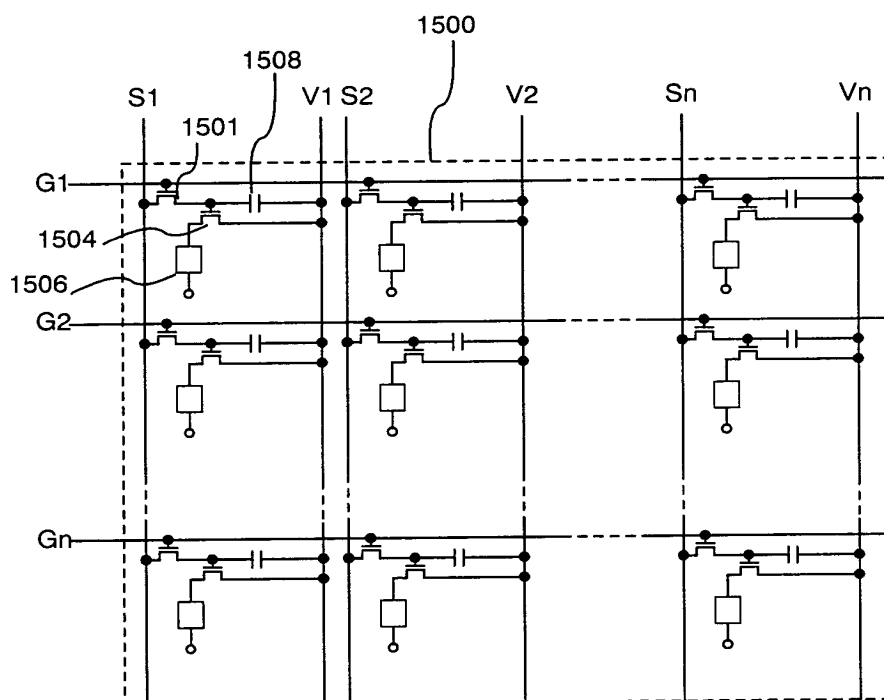


Fig. 16 prior art

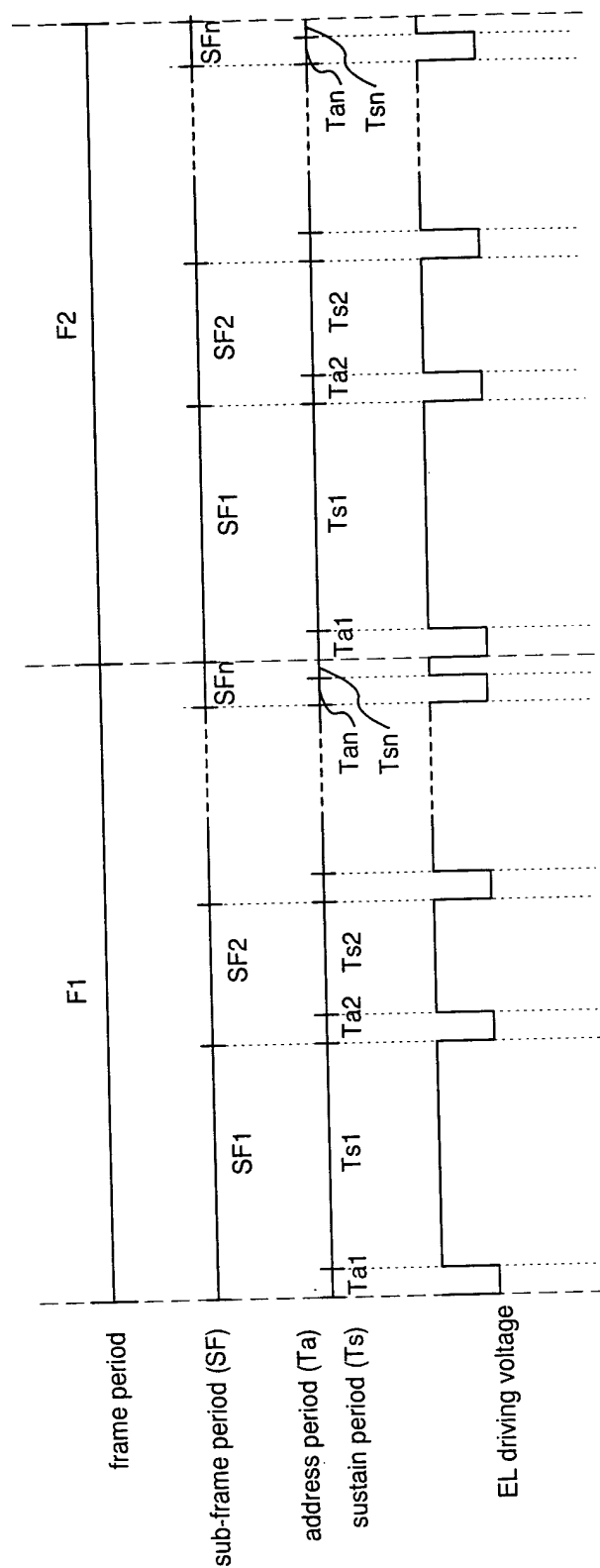


Fig. 17A

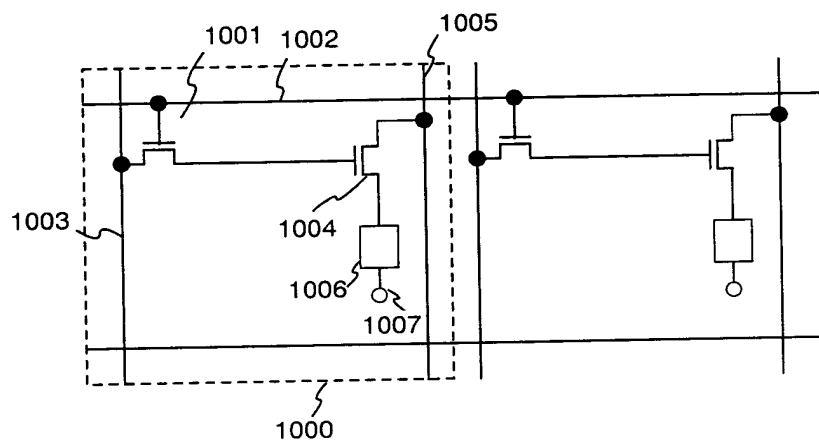


Fig. 17B

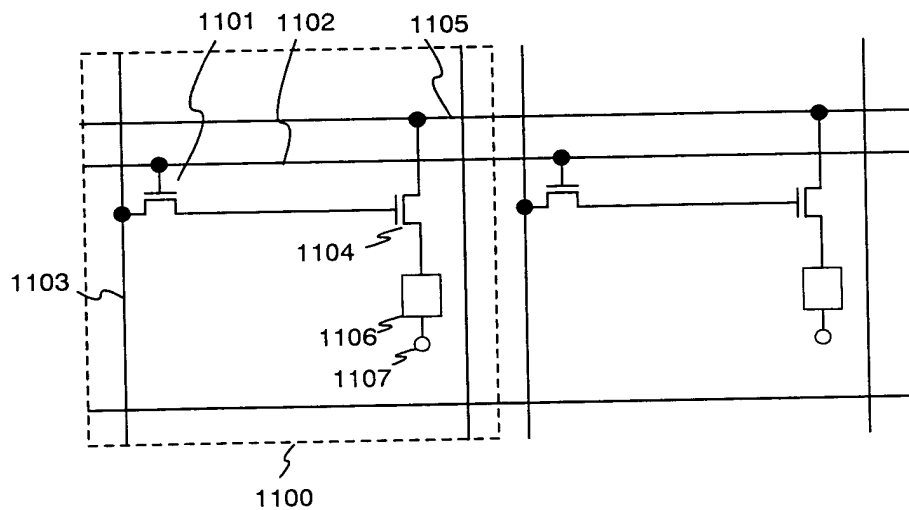


Fig. 18A

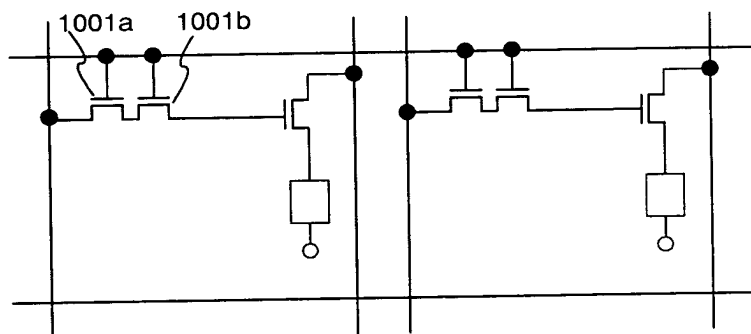


Fig. 18B

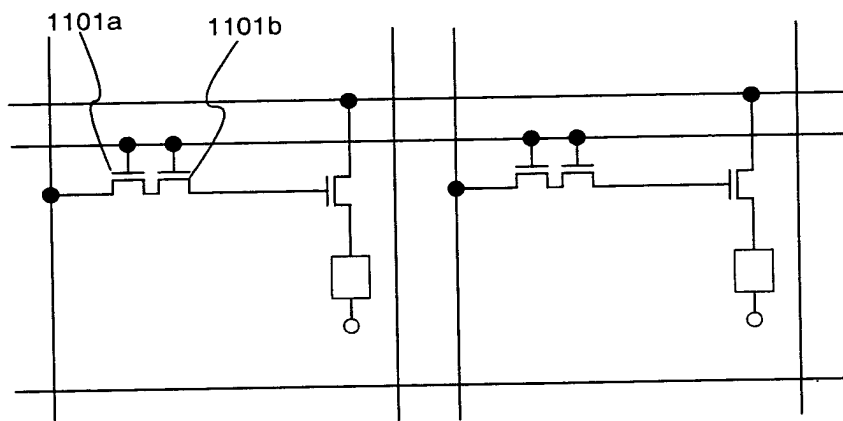


Fig. 19A

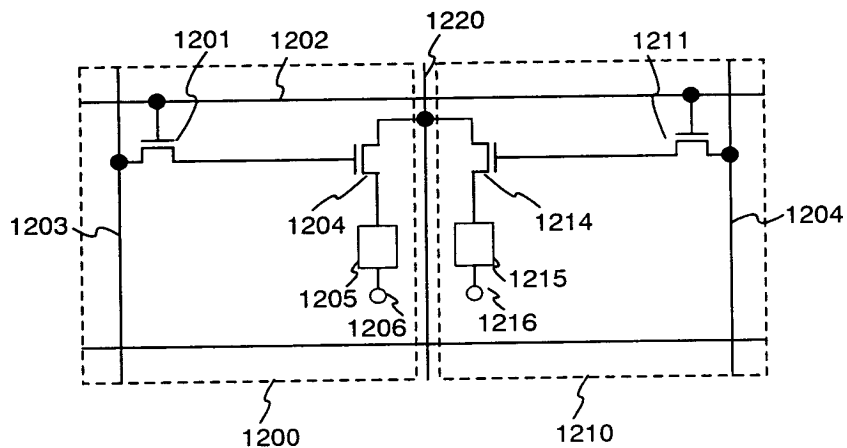
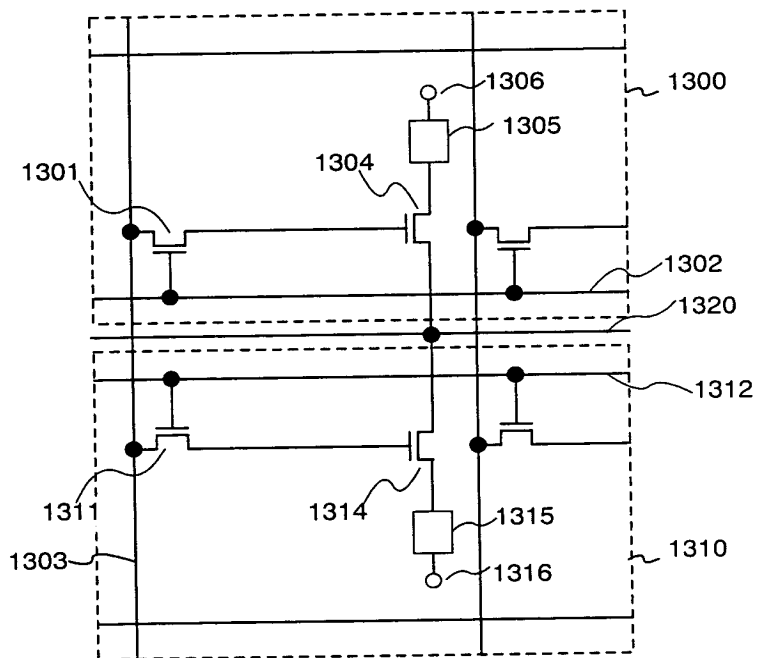


Fig. 19B



000001-0426960

Fig. 20A

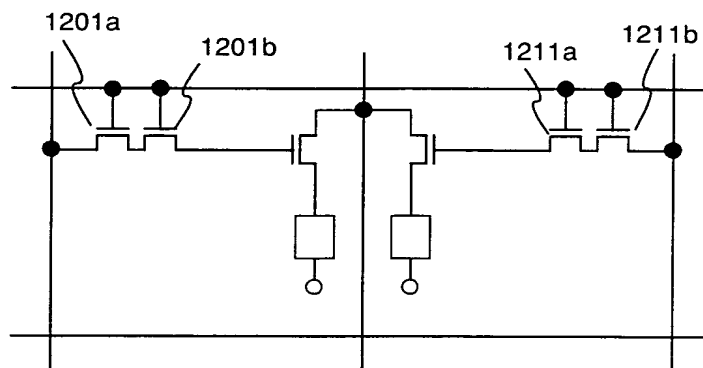


Fig. 20B

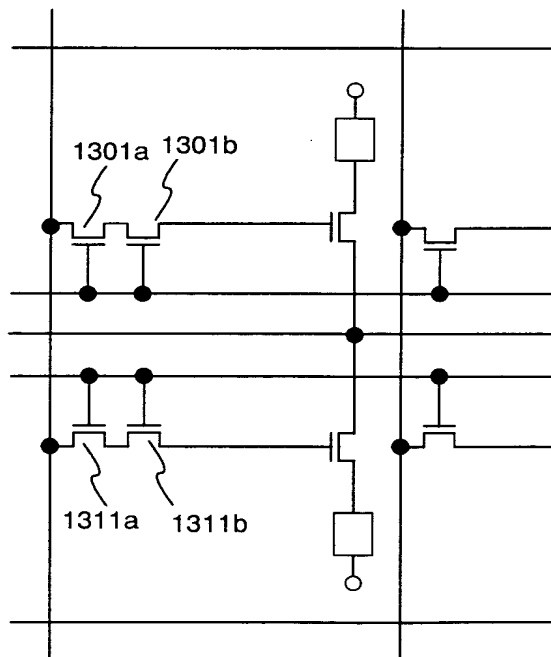


Fig. 21

